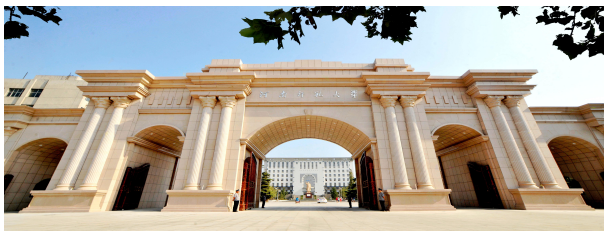


# Sneutrino Dark Matter in the NMSSM with Inverse Seesaw Mechanism and Its Phenomenology

曹俊杰，河南师范大学

合作者：郭小飞，贺杨乐，尚亮亮，岳远方

主要想法见arXiv: 1707.09626.



# 超对称模型现状

经济的超对称模型变得越来越不自然：

- $\mu$ 参数问题， $125\text{GeV}$  Higgs粒子质量；
- LHC没有发现超对称粒子的迹象（基于条件过强）；
- 暗物质探测实验对暗物质的性质给以强烈限制（引起广泛关注）。

根本原因：Higgs部分被过度使用。

- 对电弱对称性破缺负责——基本职责；
- 对类标准模型Higgs粒子质量负责——基本职责；
- 要求非标准模型Higgs粒子在低能过程的效应很小——实验要求；
- （很大程度）影响暗物质残留密度和间接探测结果——过度使用；
- 决定暗物质与原子核的散射大小——过度使用；
- 其他：如影响超粒子的衰变和探测等。

解决方案：增加新的场和相互作用，降低Higgs部分所起作用。要求

- 规范群的选取以及场的配置应尽可能经济；
- 应该能够解释中微子数据——实验数据要求；
- 最好能够解释宇称不守恒、大统一等基本问题——更加基础的理论。

# 目录

介绍一个能维持自然性、逃避暗物质实验限制、唯象学有新特点的理论。  
超对称化的DM Sector + Singlet Higgs Portal 模型（Secluded DM）。  
次最小超对称模型的重要扩充，解决它面临的很多重要问题。

1. 自然性与暗物质探测实验
2. 具有Inverse Seesaw机制的NMSSM
  - ▶ 理论基本框架
  - ▶ 次最小超对称部分
  - ▶ 中微子物理
  - ▶ 暗物质的湮灭方式
  - ▶ 暗物质与原子核的散射
3. 数值结果展示
4. ISS-NMSSM的唯象学
5. 结论

# 1、自然性与暗物质探测实验

- **自然性：**物理量中各部分贡献的大小不应该比物理量自身大许多！

例：Z玻色子质量

$$m_Z^2 = \frac{2(m_{H_d}^2 + \Sigma_d) - 2(m_{H_u}^2 + \Sigma_u) \tan^2 \beta}{\tan^2 \beta - 1} - 2\mu^2,$$

$$\Sigma_u \simeq \sum_{i=1}^2 \frac{3Y_t^2}{16\pi^2} \times m_{\tilde{t}_i}^2 \left( \log \frac{m_{\tilde{t}_i}^2}{Q^2} - 1 \right),$$

$$\Sigma_d \simeq \sum_{i=1}^2 \frac{3Y_b^2}{16\pi^2} \times m_{\tilde{b}_i}^2 \left( \log \frac{m_{\tilde{b}_i}^2}{Q^2} - 1 \right).$$

定义精细调节量： $\Delta_Z = \max \left| \frac{\partial \log m_Z^2}{\partial \log p_i} \right|$ ,  $\Delta_h = \max \left| \frac{\partial \log m_h^2}{\partial \log p_i} \right|$ 。

若要求理论只有10%的精细调节： $\mu \lesssim 200\text{GeV}$ ,  $m_{\tilde{t}} \lesssim 1.5\text{TeV}$ 。

- 若 $\tilde{\chi}_1^0$ 为暗物质，Higgsino质量 $\mu$ 会影响暗物质与Higgs粒子的相互作用！

例：MSSM中Bino作为暗物质，

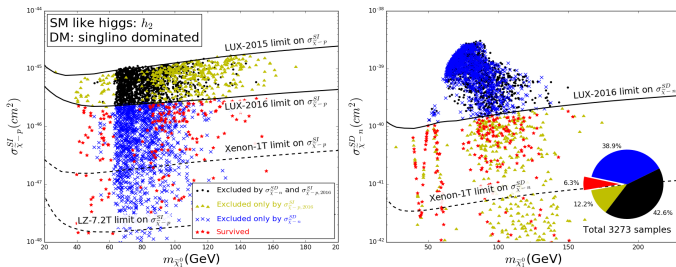
$$C_{\tilde{\chi}_1^0 \tilde{\chi}_1^0 h} \simeq \sqrt{4\pi\alpha} \frac{m_Z}{\mu} \left( \sin 2\beta + \frac{m_1}{\mu} \right).$$

# 1、自然性与暗物质探测实验

- 暗物质直接探测实验强烈限制理论的自然性！

例：若要求理论具有1%调节能力，随机扫描发现95%的参数空间将被排除  
(Bayesian分析给出类似结论)。

J. Cao, et. al. JHEP 1610 (2016) 136, arXiv: 1609.00204,  
LUX限制来自2016年9月份之前的数据，XENON-1T将上限降低约4倍。



- 解决方案：

- ▶ Blind Spots: 会引入另外的精细调节；
- ▶ Multi-component DM: 使得理论复杂化；
- ▶ 新理论, 新暗物质?

## 2、具有Inverse Seesaw机制的NMSSM:理论基本框架

SF	Spin 0	Spin $\frac{1}{2}$	Generations	$(U(1) \otimes SU(2) \otimes SU(3))$
$\hat{q}$	$\tilde{q}$	$q$	3	$(\frac{1}{6}, \mathbf{2}, \mathbf{3})$
$\hat{l}$	$\tilde{l}$	$l$	3	$(-\frac{1}{2}, \mathbf{2}, \mathbf{1})$
$\hat{H}_d$	$H_d$	$\tilde{H}_d$	1	$(-\frac{1}{2}, \mathbf{2}, \mathbf{1})$
$\hat{H}_u$	$H_u$	$\tilde{H}_u$	1	$(\frac{1}{2}, \mathbf{2}, \mathbf{1})$
$\hat{d}$	$\tilde{d}_R^*$	$d_R^*$	3	$(\frac{1}{3}, \mathbf{1}, \bar{\mathbf{3}})$
$\hat{u}$	$\tilde{u}_R^*$	$u_R^*$	3	$(-\frac{2}{3}, \mathbf{1}, \bar{\mathbf{3}})$
$\hat{e}$	$\tilde{e}_R^*$	$e_R^*$	3	$(1, \mathbf{1}, \mathbf{1})$
$\hat{s}$	$S$	$\tilde{S}$	1	$(0, \mathbf{1}, \mathbf{1})$
$\hat{\nu}$	$\tilde{\nu}_R^*$	$\nu_R^*$	3	$(0, \mathbf{1}, \mathbf{1})$
$\hat{X}$	$\tilde{x}$	$x$	3	$(0, \mathbf{1}, \mathbf{1})$

### ● 理论要求:

- ▶ 超势中不引入特定的高能能标;
- ▶ 能自然地、经济地解释Higgs质量, 最好能解释中微子振荡实验;
- ▶ 容易与暗物质实验结果一致, 如自然地压低暗物质与原子核的散射截面。

### ● ISS-NMSSM的理论基本框架:

- ▶ 用最经济的场在NMSSM框架下实现Inverse Seesaw 机制;
- ▶ 轻子数 $L$ 及 $Z_3$ 对称性极轻微破坏, 量子数 $(-1)^L$ 及 $R$ 守恒。

## 2、具有Inverse Seesaw机制的NMSSM:理论基本框架

$$\begin{aligned} W &= \left[ Y_u \hat{q} \cdot \hat{H}_u \hat{u} + Y_d \hat{H}_d \cdot \hat{q} \hat{d} + Y_e \hat{H}_d \cdot \hat{l} \hat{e} + \lambda \hat{s} \hat{H}_u \cdot \hat{H}_d + \frac{1}{3} \kappa \hat{s}^3 \right] \\ &\quad + \left[ \frac{1}{2} \mu_\nu \hat{\nu} \hat{\nu} + \frac{1}{2} \mu_x \hat{x} \hat{x} + \lambda_N \hat{s} \hat{\nu} \hat{x} + Y_\nu \hat{l} \cdot \hat{H}_u \hat{\nu} \right], \\ L^{soft} &= - \left[ \frac{1}{2} \left( m_1 \lambda_{\tilde{B}}^2 + m_2 \lambda_{\tilde{W}}^2 + m_3 \lambda_{\tilde{g}}^2 + h.c. \right) + m_{H_d}^2 |H_d|^2 + m_{H_u}^2 |H_u|^2 + m_S^2 |S|^2 \right. \\ &\quad + m_{\tilde{q}}^2 (\tilde{u}_L^* \tilde{u}_L + \tilde{d}_L^* \tilde{d}_L) + m_{\tilde{u}}^2 \tilde{u}_R^* \tilde{u}_R + m_{\tilde{d}}^2 \tilde{d}_R^* \tilde{d}_R + m_{\tilde{l}}^2 (\tilde{e}_L^* \tilde{e}_L + \tilde{\nu}_L \tilde{\nu}_L^*) + m_{\tilde{e}}^2 \tilde{e}_R^* \tilde{e}_R \\ &\quad \left. + (\lambda A_\lambda S H_u \cdot H_d + \frac{\kappa}{3} A_\kappa S^3 + Y_u A_\nu \tilde{u}_R^* \tilde{q} \cdot H_u + Y_d A_d \tilde{d}_R^* H_d \cdot \tilde{q} + Y_e A_e \tilde{e}_R^* H_d \cdot \tilde{l} + h.c.) \right] \\ &\quad - \left[ m_\nu^2 \tilde{\nu}_R \tilde{\nu}_R^* + m_x^2 \tilde{x} \tilde{x}^* + \left( \frac{B_{\mu_\nu}}{2} \tilde{\nu}_R^* \tilde{\nu}_R^* + \frac{B_{\mu_x}}{2} \tilde{x} \tilde{x} \right) + \lambda_N A_{\lambda_N} S \tilde{\nu}_R^* \tilde{x} + Y_\nu A_\nu \tilde{\nu}_R^* \tilde{l} H_u + h.c. \right]. \end{aligned}$$

- 黑色: NMSSM的超势及软破缺项;
- 红色: 为实现Inverse Seesaw而引入;
- NMSSM之外引入的参数 (味空间均为 $3 \times 3$ 矩阵) :

- ▶ Yukawa耦合:  $Y_\nu, \lambda_N$ ;
- ▶ 软破缺系数:  $m_{\tilde{\nu}}, m_{\tilde{x}}, A_\nu$  以及  $A_{\lambda_N}$ ;
- ▶ 轻子数破坏系数:  $\mu_x, \mu_\nu \lesssim \mathcal{O}(\text{KeV})$ ,  $B_{\mu_X}, B_{\mu_\nu}$  为对应Bilinear项。

$Y_\nu, \lambda_N, A_\nu, A_{\lambda_N}$  影响Sneutrino暗物质相互作用及质量。

$m_{\tilde{\nu}}$  和  $m_{\tilde{x}}$  仅影响质量。

## 2、ISS-NMSSM：次最小超对称部分

- NMSSM: MSSM模型的单态场扩充，超势具有 $Z_3$ 不变性。

超势:  $W = W_{MSSM} + \lambda \varepsilon_{ij} \hat{H}_u^i \hat{H}_d^j \hat{S} + \frac{\kappa}{3} \hat{S}^3$ 。

软破缺项:  $V_{\text{soft}} = V_{MSSM} + \tilde{m}_d^2 |H_d|^2 + \tilde{m}_u^2 |H_u|^2 + \tilde{m}_S^2 |S|^2$   
 $+ (\lambda A_\lambda \varepsilon_{ij} H_u^i H_d^j S + \frac{\kappa}{3} A_\kappa S^3 + h.c.)$ 。

$W_{MSSM}$ : MSSM的超势，但不包含 $\mu$ 项。  $\hat{S}$ : 单态超场。

$V_{MSSM}$ : MSSM 软破缺项。  $\varepsilon_{ij} \hat{H}_u^i \hat{H}_d^j \hat{S}$ : 二重态与单态Higgs场的相互作用。

- 粒子谱:

- 三个CP-even Higgs粒子:  $h_1, h_2, h_3$ ;  $m_{h_1} < m_{h_2} < m_{h_3}$ 。
- 两个CP-odd Higgs粒子:  $A_1, A_2$ ;  $m_{A_1} < m_{A_2}$ 。
- 五个Neutralino粒子:  $\tilde{\chi}_1^0, \tilde{\chi}_2^0, \tilde{\chi}_3^0, \tilde{\chi}_4^0, \tilde{\chi}_5^0$ 。

- 理论特点:

- $\mu$ 参数通过动力学产生:  $\mu = \lambda \langle s \rangle$ ; 单态粒子轻时，自然地在电弱能标。
- 能自然预言125 GeV Higgs质量: 额外树图贡献或Doublet-Singlet混合!
- 单态场为主的Higgs粒子可以很轻，可以作为超粒子的衰变产物;
- 单态场为主的CP-even Higgs粒子能较大程度影响暗物质与原子核的散射。

## 2、ISS-NMSSM：中微子部分

- Yukawa相互作用： $Y_\nu$ 、 $\lambda_N$ 、 $\mu_{\nu,X}$ 为味空间 $3 \times 3$ 矩阵.

$$\mathcal{L}_\nu = \nu_R^* Y_\nu H_u^0 \nu_L + \nu_R^* \lambda_N S x + \frac{1}{2} \nu_R^* \mu_\nu \nu_R^* + \frac{1}{2} x \mu_X x + \text{h.c.}$$

- 质量矩阵：以 $(\nu_L, \nu_R^*, x)$ 为基矢，定义 $M_D = \frac{\nu_u}{\sqrt{2}} Y_\nu$ 和 $M_R = \frac{\nu_s}{\sqrt{2}} \lambda_N$ ,

$$M_{\text{ISS}} = \begin{pmatrix} 0 & M_D^T & 0 \\ M_D & \mu_\nu & M_R \\ 0 & M_R^T & \mu_X \end{pmatrix}.$$

- 质量对角化： $U_\nu^* M_{\text{ISS}} U_\nu^\dagger = \text{diag}(m_i, m_{H_j})$ , ( $i = 1, 2, 3$ ;  $j = 1, 2, \dots, 6$ ).

$$(U_\nu^\dagger)_{9 \times 9} = \begin{pmatrix} U_{3 \times 3} & X_{3 \times 6} \\ Y_{6 \times 3} & Z_{6 \times 6} \end{pmatrix}.$$

- 有效中微子质量矩阵：积分掉重中微子场 $\nu_R^*$ 和 $x$

$$M_\nu = [M_D^T M_R^{T^{-1}}] \mu_X [(M_R^{-1}) M_D] + \mathcal{O}(\mu_{X,\nu}^2) \equiv F \mu_X F^T + \mathcal{O}(\mu_{X,\nu}^2).$$

$$U_{\text{PMNS}}^T M_\nu U_{\text{PMNS}} = \text{diag}(m_{\nu_1}, m_{\nu_2}, m_{\nu_3}).$$

- 公正性破坏： $U \simeq (\mathbf{1} - \frac{1}{2} F F^\dagger) U \equiv (\mathbf{1} - \eta) U_{\text{PMNS}}$ .

## 2、ISS-NMSSM：中微子部分

为了和中微子振荡数据相一致，对  $Y_\nu$  或  $\mu_X$  进行参数化：

- Casas-Ibarra参数化：

$$m_D = V^\dagger \text{diag}(\sqrt{M_1}, \sqrt{M_2}, \sqrt{M_3}) R \text{diag}(\sqrt{m_{\nu_1}}, \sqrt{m_{\nu_2}}, \sqrt{m_{\nu_3}}) U_{\text{PMNS}}^\dagger,$$

其中  $V$  和  $R$  定义为：

$$\begin{aligned} M_R \mu_X^{-1} M_R^T &= V^\dagger \text{diag}(M_1, M_2, M_3) V^*, \\ R &= \begin{pmatrix} c_2 c_3 & -c_1 s_3 - s_1 s_2 c_3 & s_1 s_3 - c_1 s_2 c_3 \\ c_2 s_3 & c_1 c_3 - s_1 s_2 s_3 & -s_1 c_3 - c_1 s_2 s_3 \\ s_2 & s_1 c_2 & c_1 c_2 \end{pmatrix}. \end{aligned}$$

这里  $c_i \equiv \cos \theta_i$ ,  $s_i \equiv \sin \theta_i$ ,  $\theta_1$ ,  $\theta_2$  和  $\theta_3$  为任意角度。

- 对  $\mu_X$  参数化：

$$\mu_X = M_R^T m_D^{T^{-1}} U_{\text{PMNS}}^* \text{diag}(m_{\nu_1}, m_{\nu_2}, m_{\nu_3}) U_{\text{PMNS}}^\dagger m_D^{-1} M_R.$$

## 2、ISS-NMSSM：中微子部分

Unitary Constraints:

$$\begin{aligned}(FF^\dagger)_{ee} &< 2.5 \times 10^{-3}, & (FF^\dagger)_{e\mu} &< 6.8 \times 10^{-4}, & (FF^\dagger)_{\mu\mu} &< 4.4 \times 10^{-4}, \\ (FF^\dagger)_{e\tau} &< 2.7 \times 10^{-3}, & (FF^\dagger)_{\tau\tau} &< 5.6 \times 10^{-3}, & (FF^\dagger)_{\mu\tau} &< 1.2 \times 10^{-3}.\end{aligned}$$

For diagonal  $Y_\nu$  and  $\lambda_N$ ,

$$\frac{(Y_\nu v)_{ee}}{(\lambda_N v_s)_{ee}} < 20.8, \quad \frac{(Y_\nu v)_{\mu\mu}}{(\lambda_N v_s)_{\mu\mu}} < 47.6, \quad \frac{(Y_\nu v)_{\tau\tau}}{(\lambda_N v_s)_{\tau\tau}} < 13.4.$$

Flavor Physics (90% C. L):

$$\text{Br}(\mu^+ \rightarrow e^+ \gamma) < 4.2 \times 10^{-13}, \quad \text{Br}(\tau^\pm \rightarrow e^\pm \gamma) < 3.3 \times 10^{-8}, \quad \text{Br}(\tau^\pm \rightarrow \mu^\pm \gamma) < 4.4 \times 10^{-8},$$

$$\text{Br}(\mu^+ \rightarrow e^+ e^+ e^-) < 1.0 \times 10^{-12}, \quad \text{Br}(\tau^- \rightarrow e^- e^+ e^-) < 2.7 \times 10^{-8},$$

$$\text{Br}(\tau^- \rightarrow \mu^- \mu^+ \mu^-) < 2.1 \times 10^{-8}, \quad \text{Br}(\tau^- \rightarrow e^- \mu^+ \mu^-) < 2.7 \times 10^{-8},$$

$$\text{Br}(\tau^- \rightarrow \mu^- e^+ e^-) < 1.8 \times 10^{-8}, \quad \text{Br}(\tau^- \rightarrow e^+ \mu^- \mu^-) < 1.7 \times 10^{-8},$$

$$\text{Br}(\tau^- \rightarrow \mu^+ e^- e^-) < 1.5 \times 10^{-8}.$$

## 2、ISS-NMSSM：暗物质的湮灭方式

选取最轻的Sneutrino 作为暗物质！

- **Sneutrino场分解：**

$$\tilde{\nu}_{L,i} = \frac{1}{\sqrt{2}} (\phi_i + i\sigma_i), \quad \tilde{\nu}_{R,i} = \frac{1}{\sqrt{2}} (\phi_{3+i} + i\sigma_{3+i}), \quad \tilde{x}_i = \frac{1}{\sqrt{2}} (\phi_{6+i} + i\sigma_{6+i}).$$

- **CP-odd Sneutrino 质量矩阵：**选取基矢为 $(\sigma_1, \sigma_2, \dots, \sigma_9)$ :

$$m_{\tilde{\nu}_I}^2 = \begin{pmatrix} m_{11} & m_{12} & m_{13} \\ m_{12}^T & m_{22} & m_{23} \\ m_{13}^T & m_{23}^T & m_{33} \end{pmatrix},$$

$$m_{11} = \frac{1}{4} [2v_u^2 \Re(Y_\nu^T Y_\nu^*) + 4\Re(m_I^2)] + \frac{1}{8} (g_1^2 + g_2^2) (-v_u^2 + v_d^2) \mathbf{1},$$

... .....

$$m_{33} = \frac{1}{8} (4v_s^2 \Re(\lambda_N^T \lambda_N^*) - 8\Re(B_{\mu_X}) + 8\Re(\mu_X \mu_X^*) + 8\Re(m_x^2)).$$

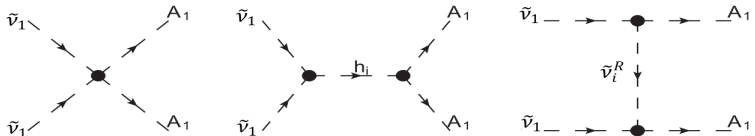
重要结论：若味破坏归结为 $\mu_X$ ，暗物质物理时只需要考虑一代情况！

- **CP-even Sneutrino 质量矩阵：**选取基矢为 $(\phi_1, \phi_2, \dots, \phi_9)$ :

$$m_{\tilde{\nu}_R}^2 = m_{\tilde{\nu}_I}^2 |_{\mu_X \rightarrow -\mu_X, B_{\mu_X} \rightarrow -B_{\mu_X}}.$$

重要结论：成对出现质量近似简并的**CP-odd**和**CP-even Sneutrino**。

## 2、ISS-NMSSM：暗物质的湮灭方式



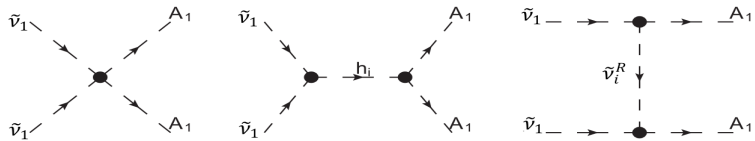
- **Sneutrino暗物质主要湮灭方式如下：**

- ▶  $\tilde{\nu}_1 \tilde{\nu}_1 \rightarrow ss$ ;  $s$ : 以单态场为主的Higgs。
- ▶  $\tilde{\nu}_1 \tilde{\nu}_1 \rightarrow \eta\eta^*$ ;  $\eta$ : 标准模型粒子或重中微子，通过Higgs共振湮灭。
- ▶  $\tilde{\nu}_1^R \tilde{\nu}_1^R \rightarrow ss, \eta\eta^*$  和  $\tilde{\nu}_1 \tilde{\nu}_1^R \rightarrow \eta\eta^*$ ; 伴随湮灭过程，模型极具特色的地方。
- ▶  $\tilde{\chi}_i^0 \tilde{\chi}_j^0, \tilde{\chi}_i^0 \tilde{\chi}_1^\pm, \tilde{\chi}_1^\pm \tilde{\chi}_1^\mp \rightarrow \eta_i \eta_j^*$ ;  $\tilde{\chi}$ : Higgsino, 共同湮灭。

- 若  $\tilde{\nu}_1 \tilde{\nu}_1 \rightarrow ss$  为主要湮灭方式,  $\langle \sigma v \rangle_0$  过大, 如何避免矮星系限制?

- ▶ “禁止湮灭”：要求  $m_{\tilde{\nu}_1}$  比  $m_s$  略小；
- ▶ 共振湮灭：要求  $m_{\tilde{\nu}_1}$  比  $m_{h_i}/2$  略小；
- ▶ 共同湮灭：要求  $m_{\tilde{\nu}_1}$  比 Higgsino 质量略小，以 Higgsino 的湮灭为主；
- ▶  $\tilde{\nu}_1^R$  在宇宙早期与  $\tilde{\nu}_1$  共同湮灭，对  $\langle \sigma v \rangle_{T_f}$  有贡献，但对  $\langle \sigma v \rangle_0$  无贡献

## 2、ISS-NMSSM：暗物质的湮灭方式



$$\begin{aligned} \sigma v|_{\sqrt{s}} &= \frac{\sqrt{1 - m_{A_1}^2/s}}{16\pi s} \left\{ \left| C_{\tilde{\nu}_1 \tilde{\nu}_1 A_1 A_1} - \sum_i \frac{C_{\tilde{\nu}_1 \tilde{\nu}_1 h_i} C_{h_i A_1 A_1}}{s - m_{h_i}^2} \right|^2 \right. \\ &\quad + 2 C_{\tilde{\nu}_1 \tilde{\nu}_1 A_1 A_1} \sum_i \frac{C_{\tilde{\nu}_1 \tilde{\nu}_i^R A_1}^2}{c} \ln \frac{a_i + c}{a_i - c} - 2 \sum_{i,j} \frac{C_{\tilde{\nu}_1 \tilde{\nu}_1 h_i} C_{h_i A_1 A_1}}{s - m_{h_i}^2} \frac{C_{\tilde{\nu}_1 \tilde{\nu}_j^R A_1}^2}{c} \ln \frac{a_j + c}{a_j - c} \\ &\quad \left. + 2 \sum_{i,j} \frac{C_{\tilde{\nu}_1 \tilde{\nu}_i^R A_1}^2 C_{\tilde{\nu}_1 \tilde{\nu}_j^R A_1}^2}{c(a_i - a_j)} \ln \frac{(a_i - c)(a_j + c)}{(a_i + c)(a_j - c)} \right\} \\ &\simeq a + b v^2, \\ a &= \frac{\sqrt{1 - m_{A_1}^2/m_{\tilde{\nu}_1}^2}}{64\pi m_{\tilde{\nu}_1}^2} \left| C_{\tilde{\nu}_1 \tilde{\nu}_1 A_1 A_1} - \sum_i \frac{C_{\tilde{\nu}_1 \tilde{\nu}_1 h_i} C_{h_i A_1 A_1}}{4m_{\tilde{\nu}_1}^2 - m_{h_i}^2} + \sum_j \frac{2C_{\tilde{\nu}_1 \tilde{\nu}_j^R A_1}^2}{m_{\tilde{\nu}_1}^2 + m_{\tilde{\nu}_j^R}^2 - m_{A_1}^2} \right|^2, \end{aligned}$$

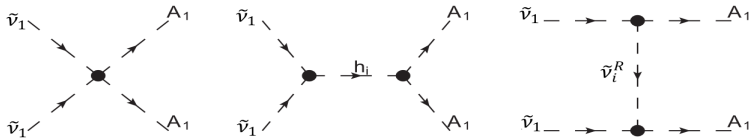
## 2、ISS-NMSSM：暗物质的湮灭方式

$$\begin{aligned}
 b = & \left( -\frac{1}{4} + \frac{m_{A_1}^2}{8(m_{\tilde{\nu}_1}^2 - m_{A_1}^2)} \right) \times a - \frac{\sqrt{1 - m_{A_1}^2/m_{\tilde{\nu}_1}^2}}{64\pi m_{\tilde{\nu}_1}^2} \times \\
 & \left\{ \sum_{i,j} \frac{C_{\tilde{\nu}_1 \tilde{\nu}_1 h_i} C_{h_i A_1 A_1} C_{\tilde{\nu}_1 \tilde{\nu}_1 h_j} C_{h_j A_1 A_1}}{(4m_{\tilde{\nu}_1}^2 - m_{h_i}^2)(4m_{\tilde{\nu}_1}^2 - m_{h_j}^2)} \left( \frac{m_{\tilde{\nu}_1}^2}{4m_{\tilde{\nu}_1}^2 - m_{h_i}^2} + i \leftrightarrow j \right) \right. \\
 & - \sum_{i,j} \frac{2C_{\tilde{\nu}_1 \tilde{\nu}_1 h_i} C_{h_i A_1 A_1} C_{\tilde{\nu}_1 \tilde{\nu}_j^R A_1}^2}{(4m_{\tilde{\nu}_1}^2 - m_{h_i}^2)(m_{\tilde{\nu}_1}^2 + m_{\tilde{\nu}_j^R}^2 - m_{A_1}^2)} \left( \frac{m_{\tilde{\nu}_1}^2}{4m_{\tilde{\nu}_1}^2 - m_{h_i}^2} + \frac{2m_{\tilde{\nu}_1}^2}{m_{\tilde{\nu}_1}^2 + m_{\tilde{\nu}_j^R}^2 - m_{A_1}^2} \right) \\
 & + \sum_{i,j} \frac{2C_{\tilde{\nu}_1 \tilde{\nu}_i^R A_1}^2 C_{\tilde{\nu}_1 \tilde{\nu}_j^R A_1}^2}{(m_{\tilde{\nu}_1}^2 + m_{\tilde{\nu}_i^R}^2 - m_{A_1}^2)(m_{\tilde{\nu}_1}^2 + m_{\tilde{\nu}_j^R}^2 - m_{A_1}^2)} \left( \frac{m_{\tilde{\nu}_1}^2}{(m_{\tilde{\nu}_1}^2 + m_{\tilde{\nu}_i^R}^2 - m_{A_1}^2)} + i \leftrightarrow j \right) \\
 & \left. - 2C_{\tilde{\nu}_1 \tilde{\nu}_1 A_1 A_1} \left( \sum_i \frac{C_{\tilde{\nu}_1 \tilde{\nu}_1 h_i} C_{h_i A_1 A_1} m_{\tilde{\nu}_1}^2}{(4m_{\tilde{\nu}_1}^2 - m_{h_i}^2)^2} - \sum_j \frac{C_{\tilde{\nu}_1 \tilde{\nu}_j^R A_1}^2 m_{\tilde{\nu}_1}^2}{(m_{\tilde{\nu}_1}^2 + m_{\tilde{\nu}_j^R}^2 - m_{A_1}^2)^2} \right) \right\}.
 \end{aligned}$$

在暗物质退耦温度处以及今天：

$$\begin{aligned}
 \langle \sigma v \rangle_{T_f} &\simeq a + 6b \frac{T_f}{m_{\tilde{\nu}_1}} \simeq a + \frac{6}{25}b \simeq a, \quad \langle \sigma v \rangle_0 \simeq a; \\
 \langle \sigma v \rangle_0 &\simeq \langle \sigma v \rangle_{T_f} \sim 10^{-26} \text{cm}^3 \text{s}^{-1}.
 \end{aligned}$$

## 2、ISS-NMSSM：暗物质的湮灭方式



- **Sneutrino暗物质主要湮灭方式如下：**

- ▶  $\tilde{\nu}_1 \tilde{\nu}_1 \rightarrow ss$ ;  $s$ : 以单态场为主的Higgs。
- ▶  $\tilde{\nu}_1 \tilde{\nu}_1 \rightarrow \eta\eta^*$ ;  $\eta$ : 标准模型粒子或重中微子，通过Higgs共振湮灭。
- ▶  $\tilde{\nu}_1^R \tilde{\nu}_1^R \rightarrow ss, \eta\eta^*$  和  $\tilde{\nu}_1 \tilde{\nu}_1^R \rightarrow \eta\eta^*$ ; 伴随湮灭过程。
- ▶  $\tilde{\chi}_i^0 \tilde{\chi}_j^0, \tilde{\chi}_i^0 \tilde{\chi}_j^\pm, \tilde{\chi}_i^\pm \tilde{\chi}_j^\mp \rightarrow \eta_i \eta_j^*$ ;  $\tilde{\chi}$ : Higgsino, 共同湮灭。

- 若  $\tilde{\nu}_1 \tilde{\nu}_1 \rightarrow ss$  为主要湮灭方式,  $\langle \sigma v \rangle_0$  过大, 如何避免矮星系限制?

- ▶ “禁止湮灭”：要求  $m_{\tilde{\nu}_1}$  比  $m_s$  略小；
- ▶ 共振湮灭：要求  $m_{\tilde{\nu}_1}$  比  $m_{h_i}/2$  略小；
- ▶ 共同湮灭：要求  $m_{\tilde{\nu}_1}$  比 Higgsino 质量略小，以 Higgsino 的湮灭为主；
- ▶  $\tilde{\nu}_1^R$  在宇宙早期与  $\tilde{\nu}_1$  共同湮灭，对  $\langle \sigma v \rangle_{T_f}$  有贡献，但对  $\langle \sigma v \rangle_0$  无贡献

## 2、ISS-NMSSM：暗物质与原子核的散射

暗物质与质子散射截面公式(通过 $t$ -道交换CP-even Higgs实现):

$$\sigma_{\tilde{\nu}_1-p}^{\text{SI}} = \frac{\mu_{\text{red}}^2}{4\pi m_{\tilde{\nu}_1}^2} f_p^2 = \frac{4F_u^{(p)2} \mu_{\text{red}}^2 m_p^2}{\pi} \left\{ \sum_i (a_{ui} + a_{di} F_d^{(p)} / F_u^{(p)}) \right\}^2.$$

$a_{ui}$ : 与算子  $\mathcal{L} = \tilde{\nu}_1 \tilde{\nu}_1 \bar{u} u$  系数有关;  $F_q^p$ : 核物理形状因子。 $\sigma_{\tilde{\nu}_1-p}^{\text{SD}} \equiv 0$ 。

- ISS-NMSSM:

$$a_{ui} = -\frac{g}{8m_W} \frac{C_{\tilde{\nu}_1 \tilde{\nu}_1 h_i}}{m_{h_i}^2 m_{\tilde{\nu}_1}} \frac{S_{i2}}{\sin \beta}, \quad a_{di} = -\frac{g}{8m_W} \frac{C_{\tilde{\nu}_1 \tilde{\nu}_1 h_i}}{m_{h_i}^2 m_{\tilde{\nu}_1}} \frac{S_{i1}}{\cos \beta},$$

- ▶  $h_i$ : 第  $i$  个 CP-even Higgs 粒子, 对角化相关质量矩阵得到;
- ▶  $S_{i1}$ :  $h_i$  中  $H_d$  场所占分量,  $S_{i2}$ :  $h_i$  中  $H_u$  场所占分量;
- ▶  $C_{XYZ}$ : 粒子 X、Y、Z 相互作用系数。

- MSSM: 以 Bino 为主的  $\tilde{\chi}_1^0$  作为暗物质

$$a_{ui} = -\frac{g}{4m_W} \frac{C_{\tilde{\chi}_1^0 \tilde{\chi}_1^0 h_i}}{m_{h_i}^2} \frac{S_{i2}}{\sin \beta}, \quad a_{di} = -\frac{g}{4m_W} \frac{C_{\tilde{\chi}_1^0 \tilde{\chi}_1^0 h_i}}{m_{h_i}^2} \frac{S_{i1}}{\cos \beta},$$

$$C_{\tilde{\chi}_1^0 \tilde{\chi}_1^0 h_i} = g_1 N_{11} (S_{i1} N_{13} - S_{i2} N_{14}) \simeq \sqrt{4\pi \alpha} \frac{m_Z}{\mu} (\sin 2\beta + \frac{M_1}{\mu}).$$

## 2、ISS-NMSSM：暗物质与原子核的散射

- $h_1$  对应 125 GeV Higgs,  $h_2$  和  $h_3$  退耦:

$$\sigma_{\tilde{\nu}_1-p}^{\text{SI}} \propto \left( \frac{\sqrt{2} Y_\nu A_\nu Z_{11} Z_{12} + Y_\nu^2 v_u Z_{12} Z_{12}}{(125 \text{GeV})^2 m_{\tilde{\nu}_1}} \right)^2.$$

- ▶  $Z$ :  $(\tilde{\nu}_L, \tilde{\nu}_R, \tilde{\nu}_x)$  基矢下 Snetrino 质量矩阵的对角矩阵;
- ▶  $Z_{11}$ :  $\tilde{\nu}_1$  中含  $\tilde{\nu}_L$  的成分, 通常很小;  $Z_{12}$ :  $\tilde{\nu}_1$  中含  $\tilde{\nu}_R$  的成分;
- ▶ 和 MSSM 相比压低因子:  $10 \times (Y_\nu Z_{12} \mu / M_1)^4$ ,  $Y_\nu$  受非幺正性强烈限制!

- $h_1$  对应 125 GeV Higgs,  $h_2$  以单态场为主, 且  $m_{h_2} \lesssim v$ ,  $h_3$  退耦:  
假定  $Y_\nu = 0$ , 即  $\tilde{\nu}_1$  只与单态场有耦合, 同时假定  $a_{d1} = a_{d2}$ :

$$\sigma_{\tilde{\nu}_1-p}^{\text{SI}} \propto \left( \frac{S_{13} C_{\tilde{\nu}_1 \tilde{\nu}_1 s}}{(125 \text{GeV})^2 m_{\tilde{\nu}_1}} \right)^2.$$

- ▶  $S_{13}$ : 类标准模型 Higgs 中单态场的成分, Higgs 数据要求很小;
- ▶  $C_{\tilde{\nu}_1 \tilde{\nu}_1 s}$ :  $\tilde{\nu}_1$  与单态场的耦合, 典型量级:  $10 \text{GeV} \sim 100 \text{GeV}$ .

对于  $Y_\nu = 0$  时, 非常有特色的结论:

只考虑  $\tilde{\nu}_1$  与单态场的相互作用, 就可以预言正确的残留密度,  
同时对直接、间接探测有很小的贡献。

## 2、ISS-NMSSM：暗物质与原子核的散射

Blind Spot Condition for SI cross section (BSC) :

$$\sum_i (a_{ui} + a_{di} F_d^{(p)} / F_u^{(p)}) = 0$$

$$\sum_i \left[ \frac{(S_{i1} C_{\tilde{\nu}_1 \tilde{\nu}_1 H_d} + S_{i2} C_{\tilde{\nu}_1 \tilde{\nu}_1 H_u} + S_{i3} C_{\tilde{\nu}_1 \tilde{\nu}_1 s})}{m_{h_i}^2} \left( \frac{S_{i2}}{\sin \beta} + \frac{1.07 S_{i1}}{\cos \beta} \right) \right] \simeq 0$$

$$C_{\tilde{\nu}_1 \tilde{\nu}_1 H_d} = \lambda Y_\nu v_s Z_{11} Z_{12} + \lambda \lambda_N v_u Z_{12} Z_{13} - \frac{1}{4} (g_1^2 + g_2^2) v_d Z_{11} Z_{11},$$

$$C_{\tilde{\nu}_1 \tilde{\nu}_1 H_u} = \lambda \lambda_N v_d Z_{12} Z_{13} - \sqrt{2} T_\nu Z_{11} Z_{12} - Y_\nu^2 v_u Z_{11} Z_{11} - \lambda_N Y_\nu v_s Z_{11} Z_{13} \\ - Y_\nu^2 v_u Z_{12} Z_{12} + \frac{1}{4} (g_1^2 + g_2^2) v_u Z_{11} Z_{11},$$

$$C_{\tilde{\nu}_1 \tilde{\nu}_1 s} = \lambda Y_\nu v_d Z_{11} Z_{12} - 2 \kappa \lambda_N v_s Z_{12} Z_{13} - \sqrt{2} T_{\lambda_N} Z_{12} Z_{13} + \sqrt{2} \lambda_N \mu_X Z_{12} Z_{13} \\ - \lambda_N Y_\nu v_u Z_{11} Z_{13} - \lambda_N^2 v_s (Z_{12} Z_{12} + Z_{13} Z_{13}),$$

**ISS-NMSSM**: 给定Higgs部分，调整Sneutrino部分参数就可以实现BSC。

**MSSM和NMSSM**: BSC完全通过调整 $M_1$ 和Higgs部分的参数实现。

## 2、ISS-NMSSM

**ISS-NMSSM: Inverse Seesaw机制和NMSSM的完美结合!**

**单态场在ISS-NMSSM中所起作用:**

- 负责 $\mu$ 参数:  $\mu = \lambda v_s$ ;
- 负责重中微子质量:  $v_{4-9} \simeq \lambda_N v_s$ ;
- 负责暗物质物理:

单态Higgs场+ $\tilde{\nu}_R$ + $\tilde{x}$  构成DM Sector, 单态Higgs场同时作为Mediator。

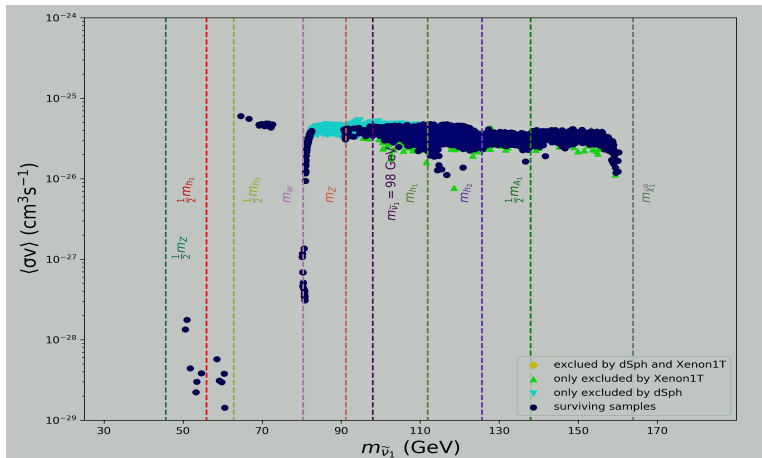
- ▶ 传递 $\tilde{\nu}_1 \tilde{\nu}_1 \rightleftharpoons \tilde{\chi}_1^+ \tilde{\chi}_1^-$ ,  $\tilde{\chi}_i^0 \tilde{\chi}_j^0$ , 使 $\tilde{\nu}_1$ 与Higgsino 处于热平衡, 共同湮灭创造条件!
- ▶ 单态场可作为主要的暗物质湮灭末态, 也可以传播暗物质的湮灭;
- ▶  $\tilde{\nu}_1$ 与单态场的相互作用影响暗物质与原子核散射截面。

### 3、数值结果展示

parameter	value	parameter	value	parameter	value
$\tan \beta$	3.3	$\lambda$	0.63	$\kappa$	0.23
$A_\lambda$	759	$A_\kappa$	-248	$\mu$	248
$m_{\tilde{q}}$	2000	$m_{\tilde{l}}$	400	$A_{u,c,d,s}$	2000
$A_{t,b}$	-3000	$A_{e,\mu,\tau}$	400	$M_1$	400
$M_2$	800	$M_3$	2400	$m_{h_1}$	112
$m_{h_2}$	125.6	$m_{h_3}$	841	$m_{A_1}$	276
$m_{A_2}$	846	$m_{\tilde{\chi}_1^0}$	164	$m_{\tilde{\chi}_2^0}$	266
$m_{\tilde{\chi}_3^0}$	270	$m_{\tilde{\chi}_1^\pm}$	243	$m_{\tilde{\chi}_2^\pm}$	825
$S_{11}$	0.252	$S_{12}$	0.523	$S_{13}$	0.813
$S_{21}$	0.178	$S_{22}$	0.801	$S_{23}$	0.571
$S_{31}$	0.951	$S_{32}$	0.289	$S_{33}$	0.108

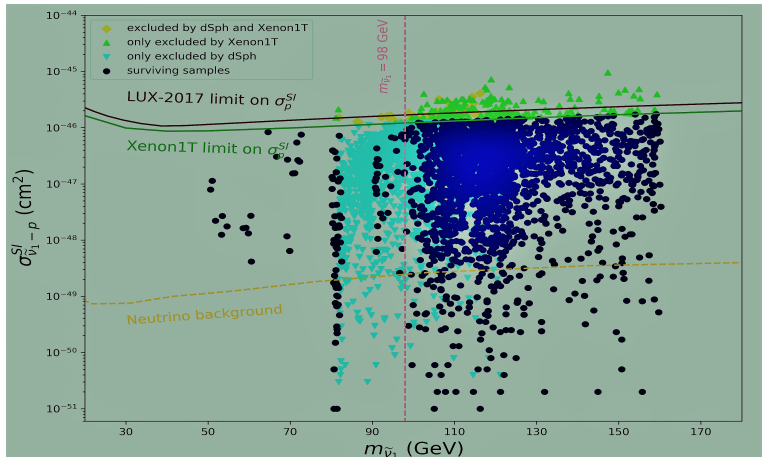
- 指定NMSSM部分参数，利用MultiNest扫描Sneutrino部分参数：  
 $0 < \lambda_N, Y_\nu \leq 0.3, -1 \text{TeV} < A_{\lambda_N}, A_\nu \leq 1 \text{TeV}, 0 \text{GeV} \leq m_{\nu,x} \leq 200 \text{GeV}.$
- 采用的Likelihood函数（存活点的疏密程度反映Likelihood分布）：  
125 GeV Higgs数据，B物理，么正性；  
暗物质：残留密度、直接探测实验，矮星系观测（用Fermi-LAT数据）。

### 3、数值结果展示



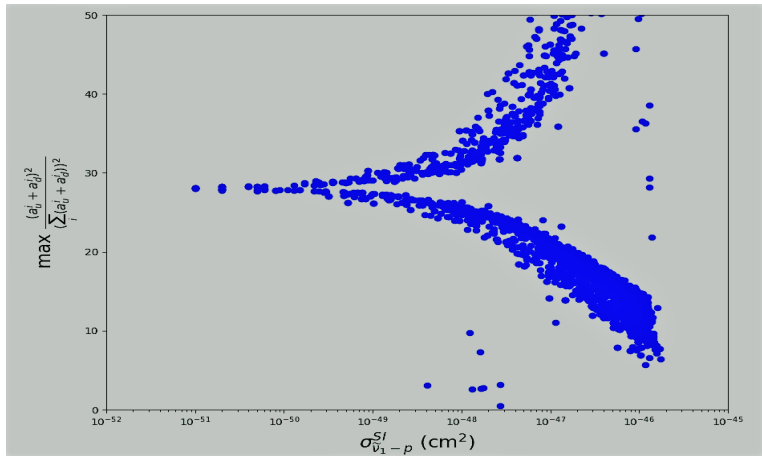
- 共振湮灭:  $\frac{1}{2}m_Z, \frac{1}{2}m_{h_1}, \frac{1}{2}m_{h_2}, \frac{1}{2}m_{A_1}$ 。耦合系数可很小(注意大于  $\frac{m_{h_2}}{2}$ )；
- 禁止湮灭:  $m_W, m_Z, m_{h_1}, m_{h_2}$ 。附近对应暗物质间接探测截面的压低；
- 共同湮灭:  $m_{\tilde{\chi}_1^0}$ 。耦合系数可以很小，对应间接探测截面压低。

### 3、数值结果展示



- 共振湮灭处直接探测截面可以很小；
- 多个湮灭道打开以后直接探测截面可以很小；
- $m_{\tilde{\chi}_1^0}$ 在80GeV – 110GeV被大量排除。原因 $\tilde{\nu}_1 \tilde{\nu}_1 \rightarrow h_i^* \rightarrow VV$ , 耦合大。

### 3、数值结果展示



- 不同  $h_i$  对直接探测截面的贡献与总截面比值的最大值；
- 它反映暗物质-原子核散射截面的精细调节程度；
- 没有共振，精细调节最大为1/30；存在共振，没有精细调节。

## 4、对NMSSM唯象学的影响

- 在如下情况下，不用考虑暗物质物理的限制！

- 存在一个Higgs粒子，满足： $m_{h_1} < 2m_{\tilde{\chi}_1^0}$  或  $m_{A_1} < 2m_{\tilde{\chi}_1^0}$ 。

暗物质可直接湮灭到Higgs对，或者通过Higgs共振湮灭。

- $\tilde{\chi}_1^0$ 以Higgsino为主：暗物质与Higgsino共同湮灭。均满足直接间接探测限制。

**后果：NMSSM的参数空间得到释放。**

- $Y_\nu$ 和 $\lambda_N$ 引入新的相互作用；存在潜在轻的粒子，如 $\nu_R$ ,  $h_1$ ,  $A_1$ 等。

- 对Higgs物理的影响：

Higgs衰变到轻粒子，Higgs味破坏衰变，Higgs质量受圈图修正影响等。

- 重中微子在对撞机上的迹象：

$\nu_R$ 质量从几个GeV到几百个GeV，含有小的 $\nu_L$ 成分，可在对撞机上产生。

$$Br(\nu_R \rightarrow WI) : Br(\nu_R \rightarrow Z\nu) : Br(\nu_R \rightarrow h\nu) \simeq 2 : 1 : 1.$$

- 轻子味破坏过程，如 $l_i \rightarrow l_j \gamma$ 等：

Higgs粒子可诱导上述过程，超粒子圈图也可诱导上述过程。

- 对Muon反常磁矩的影响：

$Y_\nu$ 直接影响Muon反常磁矩，可有效缩小实验和理论的差距( $1\sigma$ 以上)。

- 改变超粒子衰变模式。

例：考察最简单的情况

1.  $\tilde{W}$ 、 $\tilde{B}$ 以及非标准模型Higgs都很重；

2. 轻子的Yukawa耦合比较强(譬如大于0.05)，且 $m_{\tilde{l}_L} > m_{\tilde{l}_R}$ 。

## 4、对NMSSM唯象学的影响

- Higgsino作为NLSP: (Sneutrino场可分解为实部和虚部场,  $\tilde{\nu}_\tau$ 对应暗物质)

$$\tilde{\chi}_{1,2}^0 \rightarrow \tilde{\nu}_\tau \nu_{\tau,L}, \quad \tilde{\chi}_1^\pm \rightarrow \tilde{\nu}_\tau \bar{\tau}.$$

- Slepton作为NLSP, Higgsino作为NNLSP:

$$\begin{array}{ll} \tilde{\chi}_{1,2}^0 \rightarrow \tilde{l}_L^* l_R, \tilde{l}_R^* l_L, \tilde{\nu}_L^* \nu_R, \tilde{\nu}_R^* \nu_L, & \tilde{\chi}_1^\pm \rightarrow \tilde{l}_L^* \nu_R, \tilde{l}_R^* \nu_L, \tilde{\nu}_L \bar{l}_R, \tilde{\nu}_R \bar{l}_L, \\ \tilde{\nu}_R \rightarrow \nu_L \tilde{H}_u^{0*} \rightarrow \nu_L \tilde{\nu}_\tau \nu_{\tau,L}, & \tilde{\nu}_R \rightarrow l_L \tilde{H}^{\pm*} \rightarrow l_L \tilde{\nu}_\tau \bar{\tau}, \\ \tilde{l}_R \rightarrow l_L \tilde{H}_d^{0*} \rightarrow l_L \tilde{\nu}_\tau \nu_{\tau,L}, & \tilde{l}_R \rightarrow \nu_L \tilde{H}^{\mp*} \rightarrow \nu_L \tilde{\nu}_\tau \tau, \\ \tilde{\nu}_L \rightarrow \nu_R \tilde{H}_u^{0*} \rightarrow \nu_R \tilde{\nu}_\tau \nu_{\tau,L}, & \tilde{\nu}_L \rightarrow l_R \tilde{H}^{\pm*} \rightarrow l_R \tilde{\nu}_\tau \bar{\tau}, \\ \tilde{\nu}_L \rightarrow \tilde{\nu}_R h^{(*)} \rightarrow \dots \dots & \\ \tilde{l}_L \rightarrow l_R \tilde{H}_d^{0*} \rightarrow l_R \tilde{\nu}_\tau \nu_{\tau,L}, & \tilde{l}_L \rightarrow \nu_R \tilde{H}^{\mp*} \rightarrow \nu_R \tilde{\nu}_\tau \tau, \\ \tilde{l}_L \rightarrow \tilde{l}_R h^{(*)} \rightarrow \dots \dots & \end{array}$$

- Stop的衰变:

$$\begin{array}{ll} \tilde{t}_L \rightarrow t \tilde{\chi}_1^0, t \tilde{\chi}_2^0, & Br_1 : Br_2 \simeq 1 : 1, \\ \tilde{t}_R \rightarrow b \tilde{\chi}_1^\pm, t \tilde{\chi}_1^0, t \tilde{\chi}_2^0, & Br_1 : Br_2 : Br_3 \simeq 2 : 1 : 1. \end{array}$$

# 4、对NMSSM唯象学的影响：Higgsino的寻找

- 若  $|Y_\nu|_{ii}$  较大（如大于0.05）

- $Y_\nu$  在味空间对角：暗物质有特定轻子味。

- ★ Higgsino对应NLSP

$$Br(\tilde{\chi}_{1,2}^0 \rightarrow \tilde{\nu}_1 \nu_\tau) = Br(\tilde{\chi}_{1,2}^0 \rightarrow \tilde{\nu}_1^R \nu_\tau) \simeq 50\%;$$

$$Br(\tilde{\chi}_1^\pm \rightarrow \tilde{\nu}_1 \tau^\pm) = Br(\tilde{\chi}_1^\pm \rightarrow \tilde{\nu}_1^R \tau^\pm) \simeq 50\%;$$

$pp \rightarrow \tilde{\chi}_1^\pm \tilde{\chi}_{1,2}^0, \tilde{\chi}_{1,2}^0 \tilde{\chi}_{1,2}^0 j$ , 信号：Mono-jet +  $E_T^{miss}$ , LHC实验限制很弱；

$pp \rightarrow \tilde{\chi}_1^\pm \tilde{\chi}_1^\mp$ , 信号： $2\tau + E_T^{miss}$ , LHC实验限制较强。

- ★ Slepton对应NLSP

$pp \rightarrow \tilde{\chi}_i \tilde{\chi}_j$ , 信号：多轻子 +  $E_T^{miss}$ , 各种末态所占比例取决于  $|Y_\nu|_{ii}$  相对大小。

- $Y_\nu$  在味空间非对角情况：暗物质不再具有特定的轻子味。

- ★ Higgsino对应NLSP

$\tilde{\chi}_{1,2}^0 \rightarrow \tilde{\nu}_1 \nu_i, \tilde{\nu}_1^R \nu_j$ :  $\tilde{\chi}_{1,2}^0$  的信号仍旧为  $E_T^{miss}$ ;

$\tilde{\chi}_1^\pm \rightarrow \tilde{\nu}_1 l_i, \tilde{\nu}_1^R l_j$ :  $pp \rightarrow \tilde{\chi}_1^\pm \tilde{\chi}_1^\mp$  的信号可为  $l_i^\pm l_j^\mp + E_T^{miss}$  (DLF)。

- 若  $|Y_\nu|_{ii} \lesssim 0.01$  (非常类似Type I + NMSSM)

- Higgsino对应NLSP

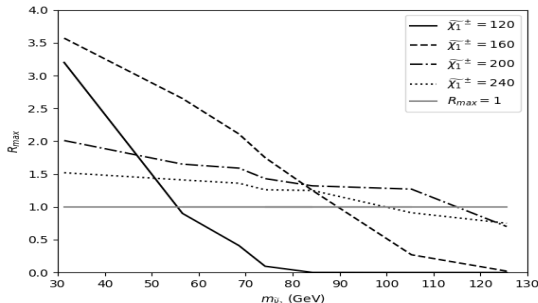
$Br(\tilde{\chi}_1^\pm \rightarrow \tilde{\nu}_1 \tau^\pm) = Br(\tilde{\chi}_1^\pm \rightarrow \tilde{\nu}_1^R \tau^\pm) \simeq 50\%$ ,  $\tilde{\chi}_1^\pm$  寿命仍旧很短；

$\tilde{\chi}_{1,2}^0$  含有Singlino分量，可以衰变为  $\tilde{\nu}_1 \nu_R, \tilde{\nu}_1^R \nu_R$ , 信号为  $\nu_R + E_T^{miss}$ 。

- Singlino或Bino作为NLSP

.....

## 4、LHC实验对模型的限制

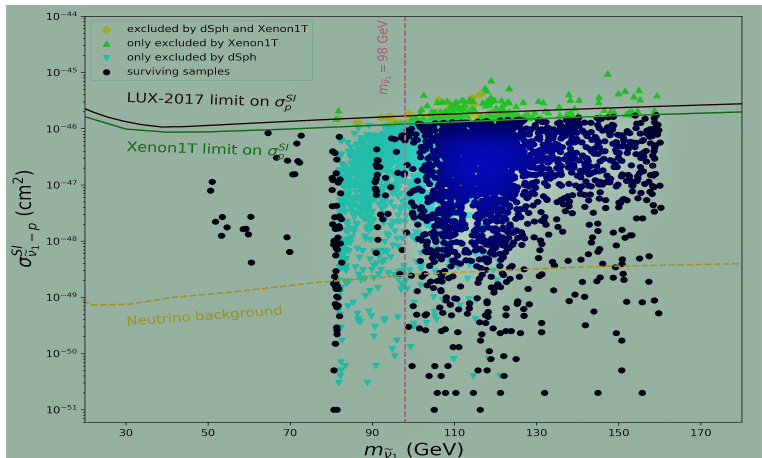


所给结果中：

- 假定第三代Sneutrino最轻，取不同 $\tilde{\chi}_1^\pm$ 质量；
- $2\tau + E_T^{miss}$ :  $pp \rightarrow \tilde{\chi}_1^\pm \tilde{\chi}_1^\mp$ ,  $Br(\tilde{\chi}_1^\pm \rightarrow \tilde{\nu}_1 \tau^\pm) = Br(\tilde{\chi}_1^\pm \rightarrow \tilde{\nu}_1^R \tau^\pm) \simeq 50\%$ ;
- $R_i = S_i / S_{95}^{OBS}$ ,  $i$ 指信号区域,  $R_{max} = max(R_i)$ ;
- $R_{max}$ 取决于 $m_{\tilde{\chi}_1^\pm}$ 和 $m_{\tilde{\nu}_1}$ (或 $\Delta m = m_{\tilde{\chi}_1^\pm} - m_{\tilde{\nu}_1}$ ), LHC实验要求:

$m_{\tilde{\chi}_1^\pm}$	120GeV	160GeV	200GeV	240GeV
$\Delta m$	65GeV	70GeV	85GeV	150GeV

### 3、数值结果展示



- 共振湮灭处直接探测截面可以很小；
- 多个湮灭道打开以后直接探测截面可以很小；
- $m_{\tilde{\chi}_1^0}$ 在80GeV – 110GeV被大量排除。原因 $\tilde{\nu}_1 \tilde{\nu}_1 \rightarrow h_i^* \rightarrow VV$ , 耦合大。

## 6、结论

MSSM和NMSSM没有解决一些基础问题，如中微子质量等。

将Inverse Seesaw机制与NMSSM结合，发现

- 如果将Sneutrino作为暗物质，其与原子核散射截面可以自然压低；
- 解决了NMSSM面临的困难，以各种方式丰富了NMSSM的唯象学；
- 和Type-I Seesaw + NMSSM 比较：
  - ▶ 暗物质物理有类似之处，但是ISS-NMSSM的物理更丰富；
  - ▶ 更广阔、更自然的参数空间解释低能实验数据；
  - ▶ 右手中微子信号不同，超粒子唯象学更丰富。

